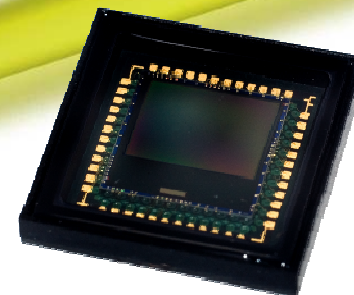


**eISP : Conception et validation d'un processeur  
programmable de traitement du signal à faible  
consommation et à faible empreinte silicium :  
application à la vidéo HD sur téléphone mobile**

Laboratoire Calculs Embarqués – CEA LIST

**Mathieu THEVENIN**  
Mathieu.Thevenin@CEA.fr



# Contexte : le marché de la vidéo embarqué

cea

list

## ➤ Les modules vidéo embarqués sont largement répandus

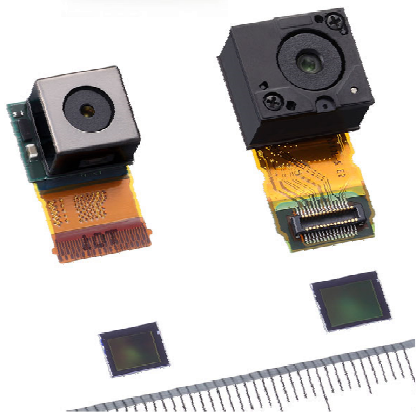
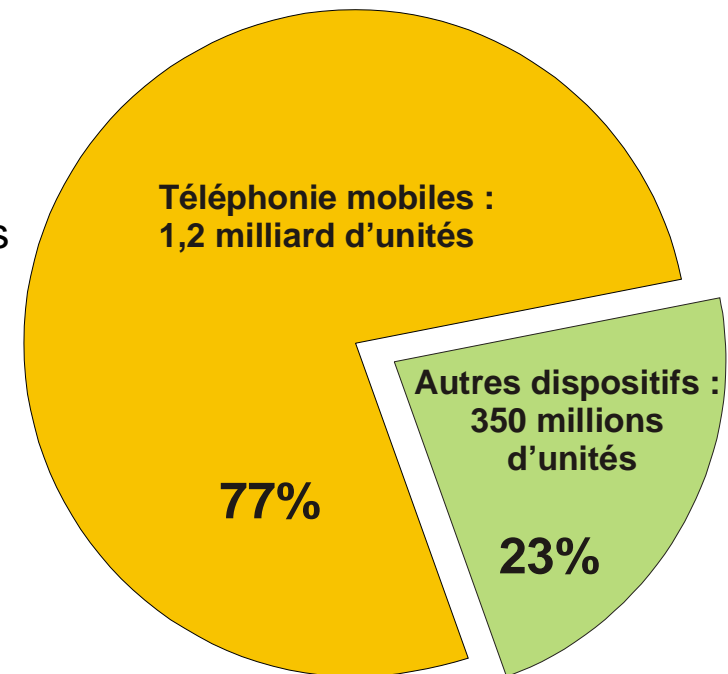
- Téléphonie mobile
- PDA et smart phones
- Caméscopes
- Appareils photos
- Vidéo-surveillance
- Automobile



## ➤ Quelques chiffres (2009)

- 6 à 8 milliards de dollars
- Coût de production 5 à 10 dollars
- ~90% du marché <4MPx

**Objectif de coût de revient  
à court terme : \$1**

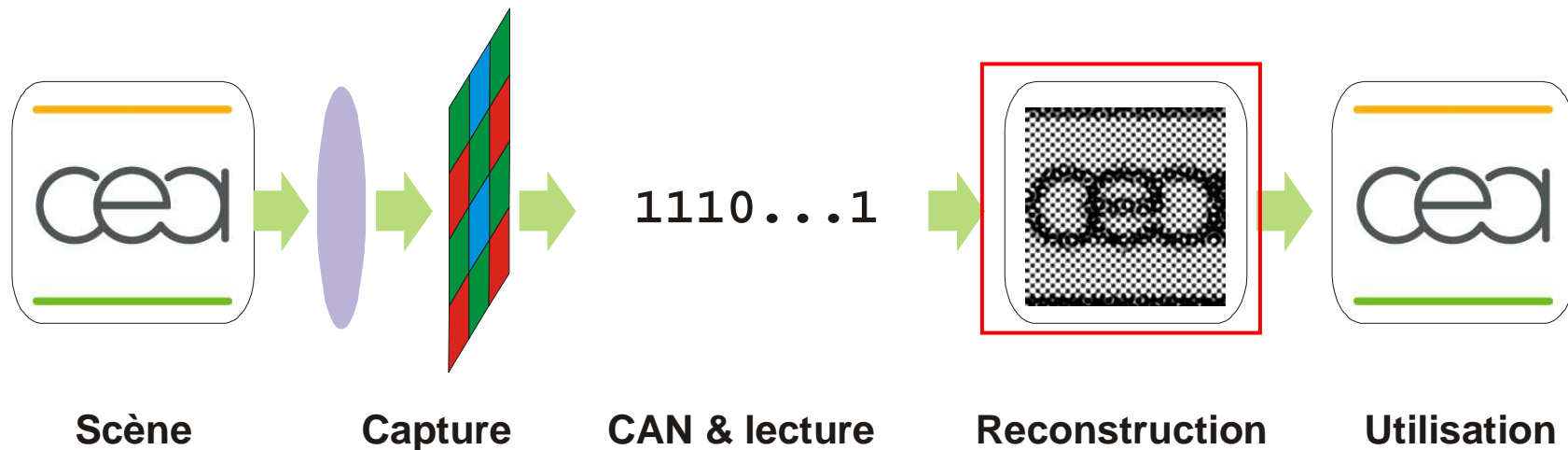


# Contexte : nécessité de reconstruire les images



## ➤ La demande

- ✓ De la haute résolution
  - Photo > 10MPixels
  - Vidéo Full HD 1080p
- ✓ Une forte autonomie



**Il faut reconstruire les images issues des capteurs**



# Objectifs et contraintes



## ➤ Un besoin en flexibilité

- ✓ Aujourd'hui des solutions dédiées existent
  - Problème de réutilisation des IPs
  - Problème d'évolution des algorithmes

Proposer une architecture de traitement d'image flexible

## ➤ Des contraintes fortes (en téléphonie mobile)

- la consommation électrique
  - ½ Watt
- la surface silicium
  - 2 à 3 mm<sup>2</sup> en technologie 65 nm
    - » Interdit toute mémoire d'image
- Capacité de calcul
  - Image brute HD 1080p 25fps : 52MPx/s
  - Plusieurs centaines d'opérations par pixel



# Plan de cette présentation

---



- Introduction et contexte



**Les traitements en sortie d'imageur**



**Un état de l'art des architectures**



**L'analyse des algorithmes de traitement d'image**

**1.**

**Les choix architecturaux**

**2.**

**La validation et les résultats d'implémentation**

- Conclusions et perspectives



# Les traitements de reconstruction d'image

cea

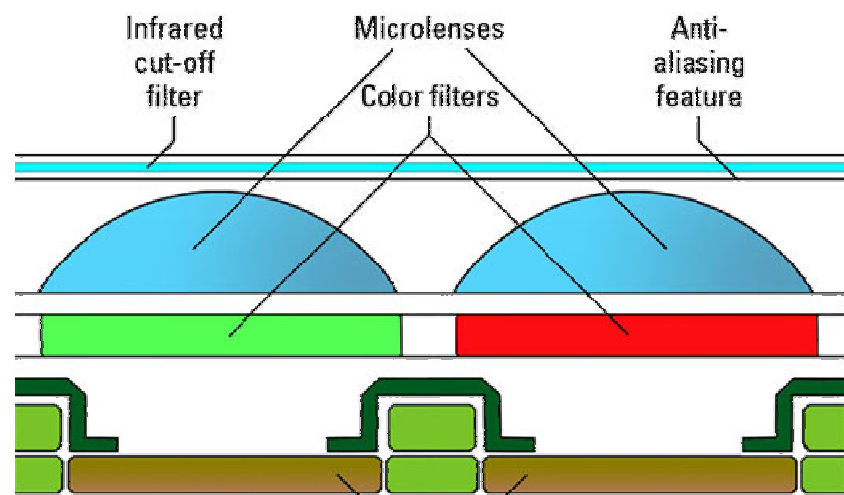
list

## ➤ **Éléments impactant la qualité de l'image**

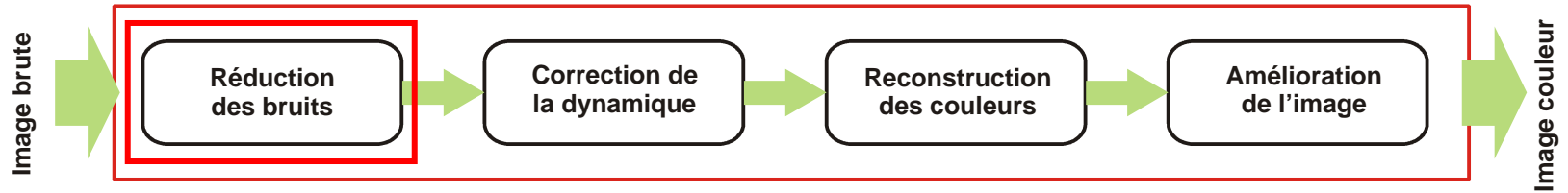
- ✓ Qualité des capteurs
- ✓ Qualité optique
- ✓ Exposition
- ✓ Filtres logiciels

## ➤ **Les couleurs des images doivent être reconstruites**

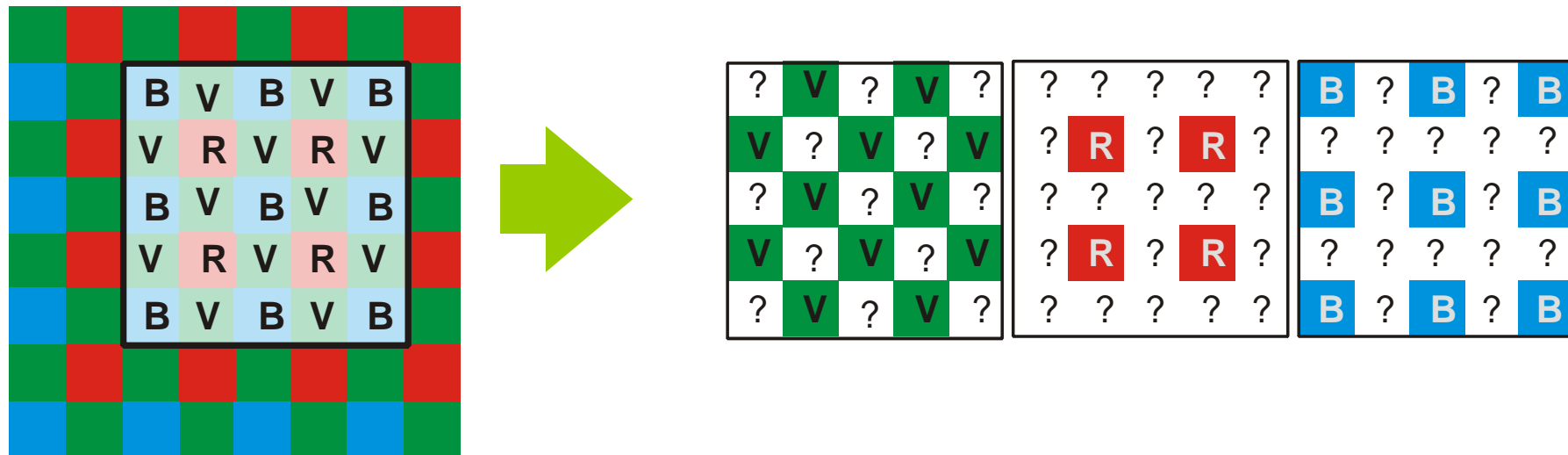
- ✓ **Systèmes monocapteurs**
- ✓ **Capteurs mesurent un niveau de luminance**
  - ➔ Utilisation d'un filtre de couleur (Bayer ou autre)



# Les traitements de reconstruction d'image



## Reconstruction des couleurs :



Présentation animée de la chaîne algorithmique

non supportée par le format PDF

# Les traitements de reconstruction d'image



- **Une grande variété de traitements**

- ✓ De complexité variable
- ✓ De nouveaux algorithmes apparaissent régulièrement
- ✓ Aucune standardisation des traitements

Besoin de flexibilité

- **Définition de plusieurs chaînes algorithmiques « de référence »**

- ✓ De complexité variable
- ✓ Différentes approches algorithmiques





# Plan de cette présentation

---



- Introduction et contexte

✓ Les traitements en sortie d'imageur

✓ **Un état de l'art des architectures**

✓ L'analyse des algorithmes de traitement d'image

**1.** Les choix architecturaux

**2.** La validation et les résultats d'implémentation

- Conclusions et perspectives



# Solutions matérielles existantes



- **Les solutions industrialisées aujourd'hui**
  - ✓ Des composants dédiés
  - ✓ Des IPs associées à des processeurs généralistes
  - ✓ Des plates-formes « multifonctions »
  
- **Les solutions académiques**
  - ✓ Multi-coeurs programmables
  - ✓ Simple/multi-cœurs avec extensions configurables
  - ✓ Reconfigurable à différentes granularités
  
- **Comment introduire de la flexibilité ?**
  - ✓ Le reconfigurable
  - ✓ Le programmable

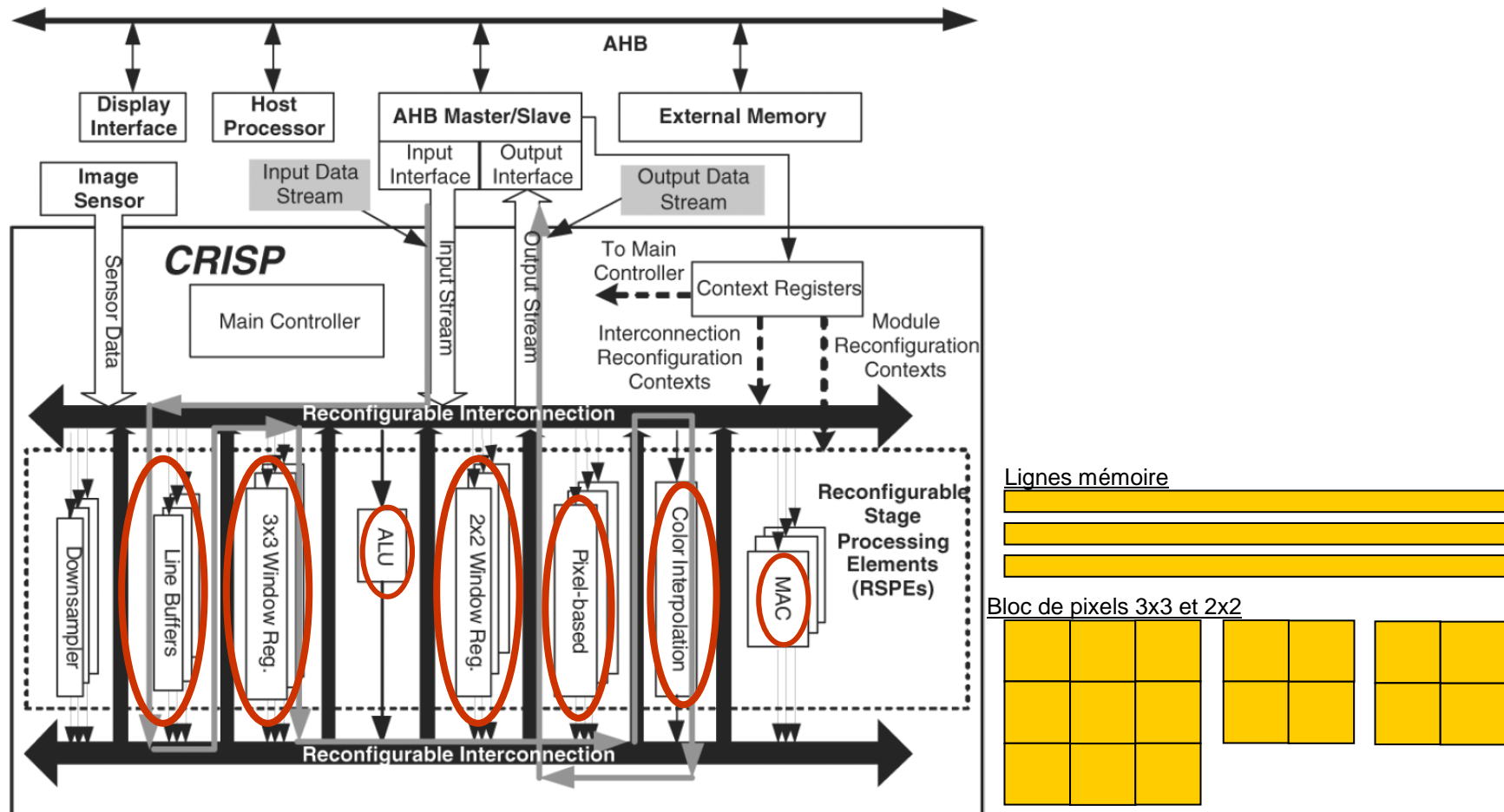


# Solutions matérielles existantes : CRISP



## ➤ CRISP (Coarse Grained Image Stream Processor) (Univ. Taiwan)

- ✓ Mode flux
- ✓ Reconfigurable gros grain



# Solutions matérielles existantes : Hive'Flex



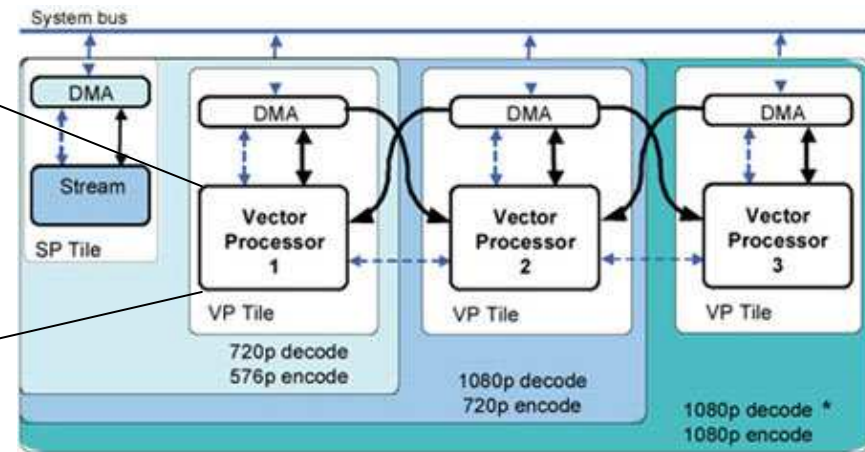
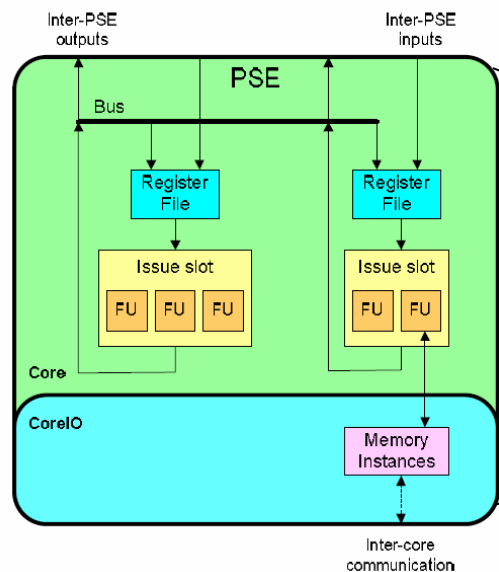
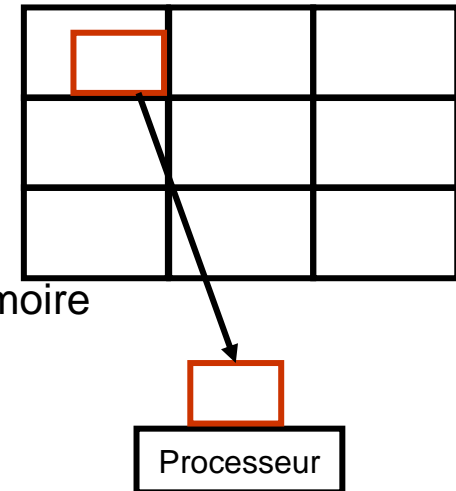
## ➤ Hive'Flex (Silicon Hive : Spin Off Philips Research Labs)

- ✓ Programmable vectoriel 32 éléments (VSP 2308)
- ✓ VLIW 2 à 16 voies
- ✓ Interconnect reconfigurable
- ✓ Hiérarchie mémoire à 2 niveaux

Capacité de calcul : 75 à 135 GOPs

Surface silicium : 5 mm<sup>2</sup> en 65nm hors mémoire

Consommation électrique : 600 mW



# Solutions matérielles existantes : comparaison



## ➤ Comparaison entre CRISP et Hive'Flex

### ✓ Points communs :

- Faible surface silicium  $< 5\text{mm}^2$
- Faible consommation  $< 600\text{ mW}$

- Hiérarchie mémoire

→ Pour alimenter les unités fonctionnelles en données

	Surface mm <sup>2</sup>	Conso. mW	Capacité GOPs	Capacité GOPs/mm <sup>2</sup>	Capacité MOPs/mW	Capacité MOPs/mW/mm <sup>2</sup>
Hive'Flex VSP 2300 32x7	5,00	600	135	27,00	225,00	<b>45,00</b>
CRISP	1,50	218	13	8,67	59,63	<b>39,76</b>



# Plan de cette présentation

---



- Introduction et contexte

✓ Les traitements en sortie d'imageur

✓ Un état de l'art des architectures

✓ **L'analyse des algorithmes de traitement d'image**

**1.** Les choix architecturaux

**2.** La validation et les résultats d'implémentation

- Conclusion et perspectives



# Analyse des algorithmes : approche utilisée



- **Cadence importante : 52MPixels / seconde**
- **Plusieurs dizaines/centaines d'opérations par pixel**
  - Hypothèses :
    - Un seul processeur capable d'exécuter 1 opération par cycle
    - Un traitement de 100 opérations/pixel
  - Conséquence
    - Fréquence à 5,2 GHz
      - » **IMPOSSIBLE**
- **Exploiter au maximum le parallélisme**
  - Parallélisme spatial
  - Parallélisme temporel
  - Parallélisme de tâche
  - Parallélisme d'instruction
- **Adéquation Algorithme Architecture**



# Analyse des algorithmes : approche utilisée



- **Analyse algorithmique à différents niveaux**
  - ✓ Niveau global
  - ✓ Niveau fonctionnel
  - ✓ Niveau opérations
  - ✓ Analyse dynamique
  
- **Conception de la chaîne d'outils MAsS**
  - ✓ Indépendance de l'étude par rapport à l'architecture
  - ✓ Identification des opérations utilisées
    - Nature
    - Dynamique
    - Fonction
  - ✓ Etude de l'impact d'extensions sur l'exécution des algorithmes
    - Macro-opérations
    - Opérateurs vectoriels
    - Générateur d'adresses etc.
  - ✓ Cibler l'étude algorithmique à des cœurs de boucles
    - Entrée
      - ➔ Algorithme mixte assembleur MAsS et C/C++
      - ➔ Fichier de définition comportementale des instructions
    - Sortie
      - ➔ Résultats de l'exécution (image etc.)
      - ➔ Rapport de profilage
      - ➔ Graphe d'exécution





# Analyse des algorithmes : graphes d'exécution



- **Construction du graphe d'exécution**
  - ✓ A chaque appel d'une opération
    - 1 nœud par opération
    - 1 nœud par ressource
- **Le graphe est généré pour une exécution du programme**
  - ✓ Dépend des données utilisées
  - ✓ De taille importante
    - Plusieurs millions/milliards de nœuds
  - ✓ Le parallélisme doit être explicités
    - Renommage automatique des ressources

$$Y = A \times x + B$$

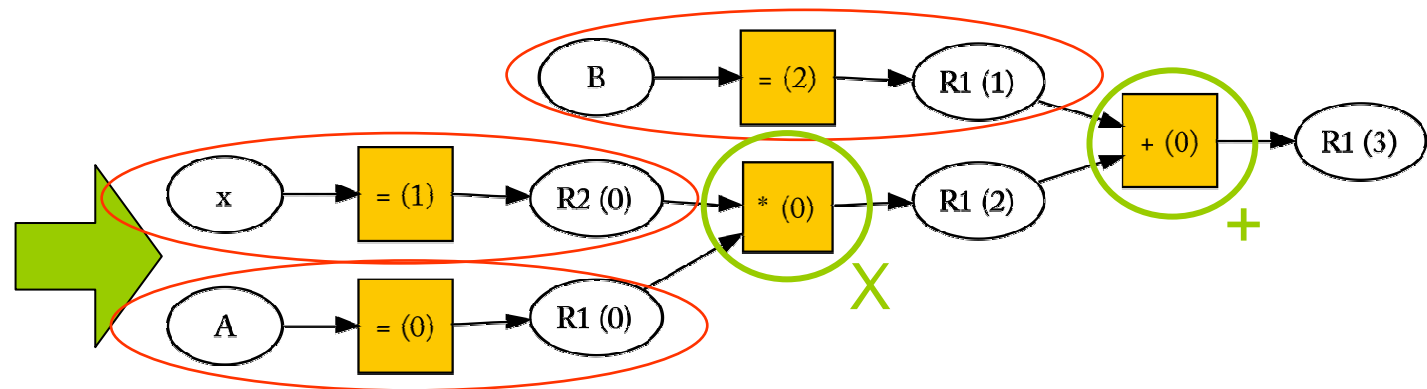
R1 ← A

R2 ← x

R1 ← R1 × R2

R2 ← B

R1 ← R1 + R2



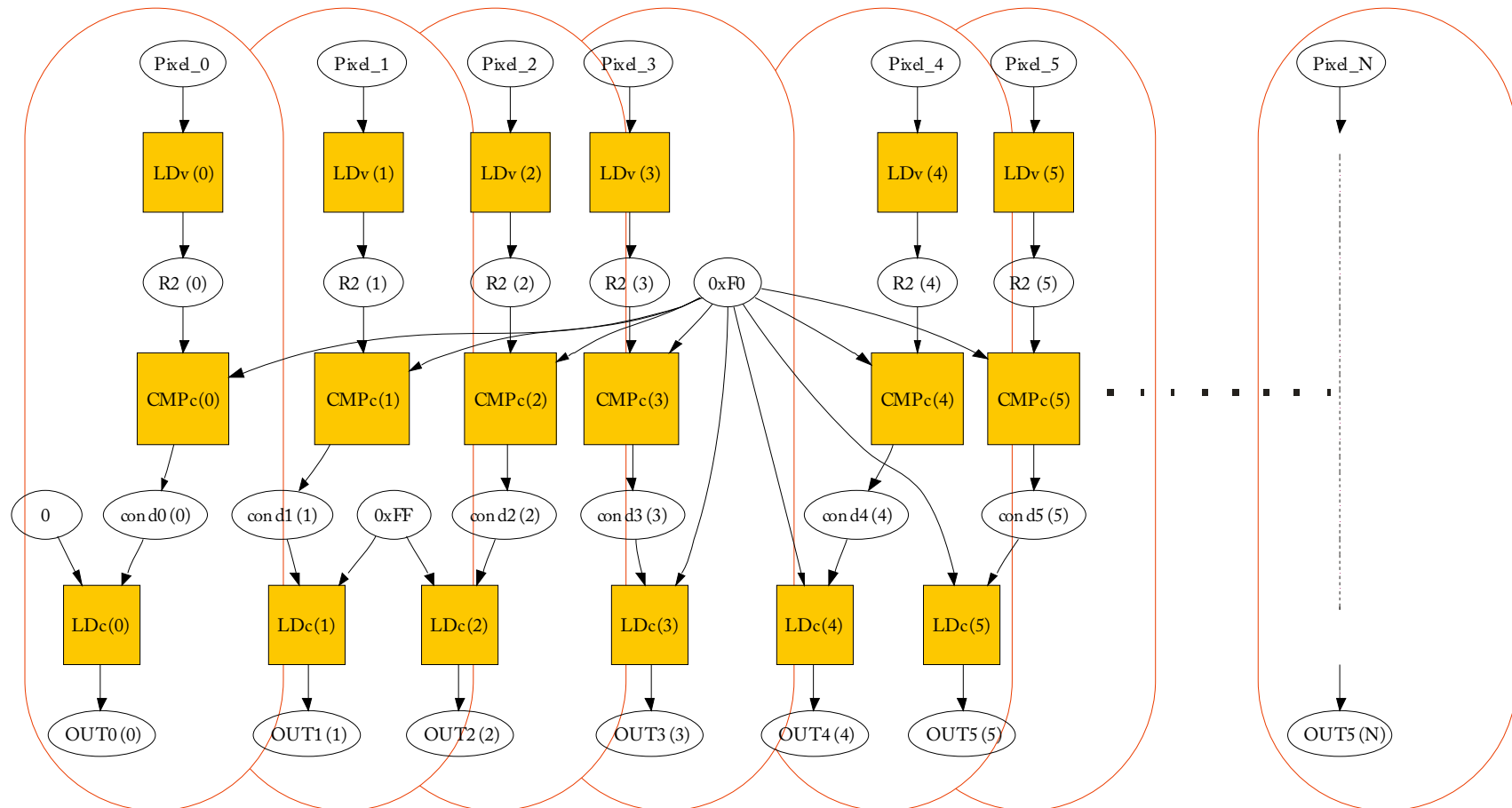
# Analyse des algorithmes : parallélisme spatial



## ➤ Extraction de sous-graphes

✓ Associés aux traitements de chaque pixel

- Similarités/disparités dans les traitements



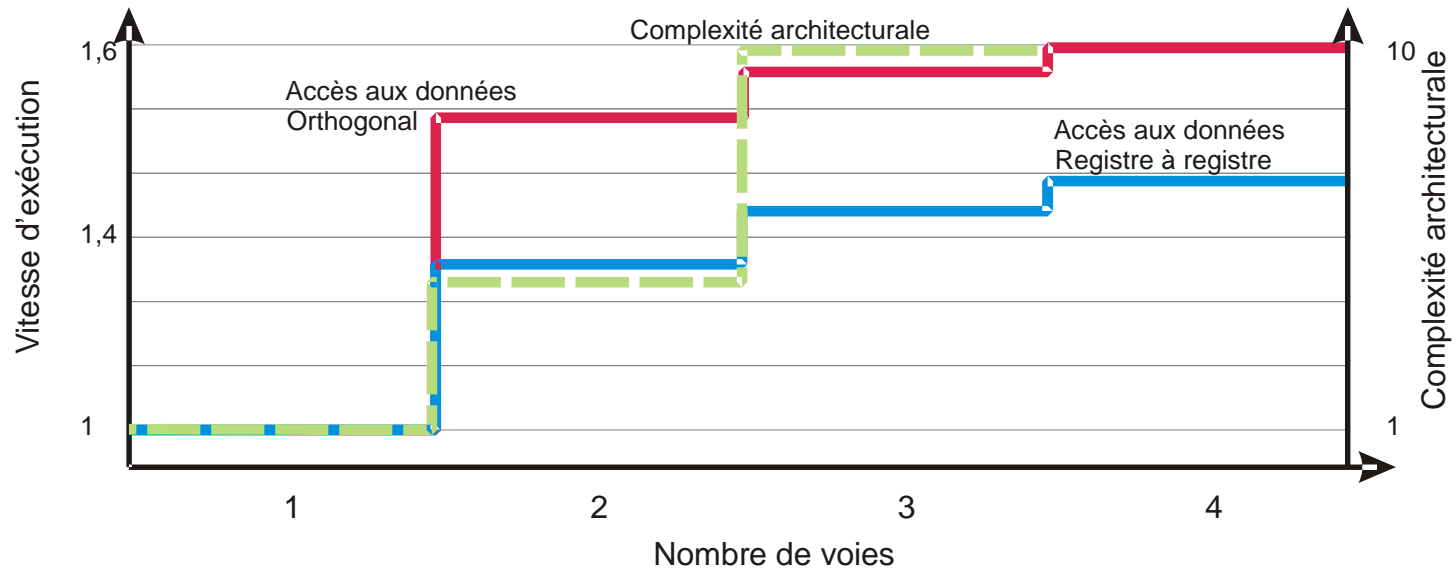
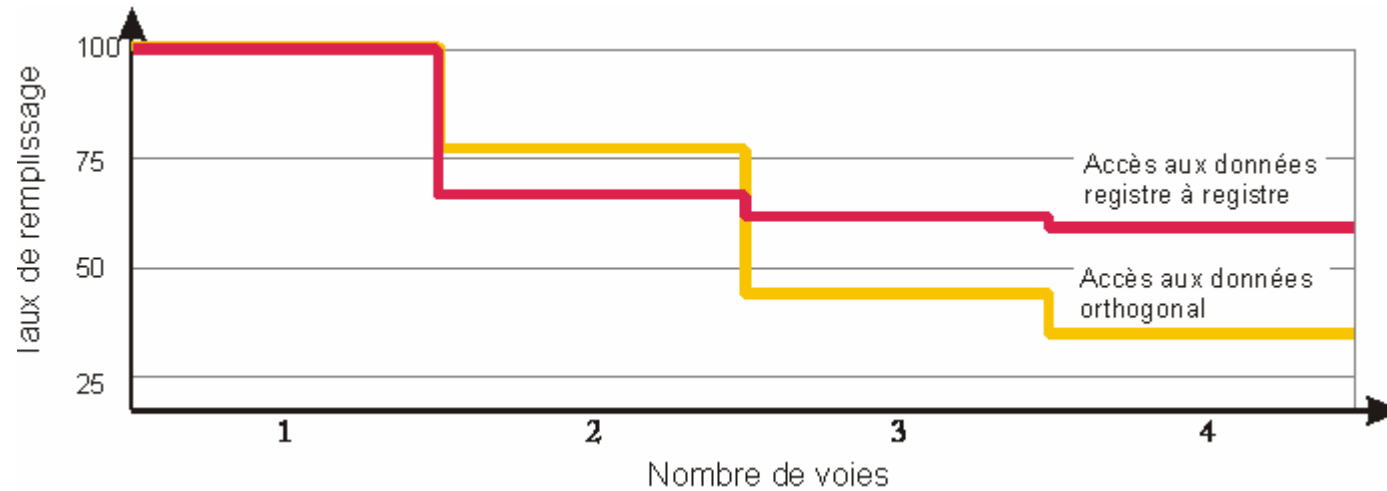
# Analyse des algorithmes : parallélisme d'instruction



- **Mise en évidence du parallélisme d'instruction (ILP)**
  - ✓ **Littérature : ILP = 2 à 4**
  - ✓ **Approche statique : ILP = 2 à 3**
    - Développée au laboratoire, adaptée pour nos besoins
    - A partir d'un code RISC compilé (SPARC)
    - Allocation des ressources sur N voies
  - ✓ **Approche dynamique : ILP = 2 à 3**
    - Par analyse des graphes d'exécution
      - ➔ Méthode adaptée du « coloriage du graphe d'interférence »
        - » Allocation des ressources selon la disponibilité
        - » Permet d'obtenir le nombre de voies d'un processeur VLIW
        - » Extraction des opérateurs potentiellement concurrents
  - ✓ **Les notions prises en compte**
    - Vitesse d'exécution
    - Complexité architecturale
      - ➔ ex. surface de la RF, nombre et surface des opérateurs ...
    - Taux de remplissage moyen des voies
    - Mode d'accès aux données étudiés
      - ➔ Registre à registre : opérands en file de registres
      - ➔ Orthogonal : opérands de source multiples



# Analyse des algorithmes : parallélisme d'instruction



# Analyse des algorithmes : choix des opérateurs



## ➤ Analyse statistique au niveau opérateurs

### ✓ Mutualisation des opérateurs

- Identification statistique des opérateurs utilisés « simultanément »
  - Addition/soustraction
  - Ecriture d'une donnée en registre
- Surface 1,5 fois moindre (à flexibilité équivalente)

### ✓ Mode d'accès aux données

- un opérateur sur 14 nécessite 2 opérandes de sources externes simultanément
  - Un seul opérande peut donc être issu d'une source quelconque
    - » Mode d'accès « orthogonal partiel » : réduit le nombre de registres nécessaires de 20% à 30%



# Analyse des algorithmes : parallélisme de tâches

---



## Séparation par groupes fonctionnels



1. Identification des **opérations de contrôle**
  - » Gestion des boucles;
  - » sauts (sous programmes etc.).
  
2. Identification des **opérations d'accès aux données**
  - » Parcours de l'image
  - » Parcours de fenêtres glissantes
  
3. Identification des **opérations de traitement d'image**
  - » Celles qui contribuent directement au résultat



# Analyse des algorithmes : parallélisme de tâches



## Fonctions de traitement d'image

- ✓ Différentes mais basées sur des opérations communes
- ✓ Opérations élémentaires entières signées
  - 10 à 30 GOPs requis pour du traitement HD 1080p



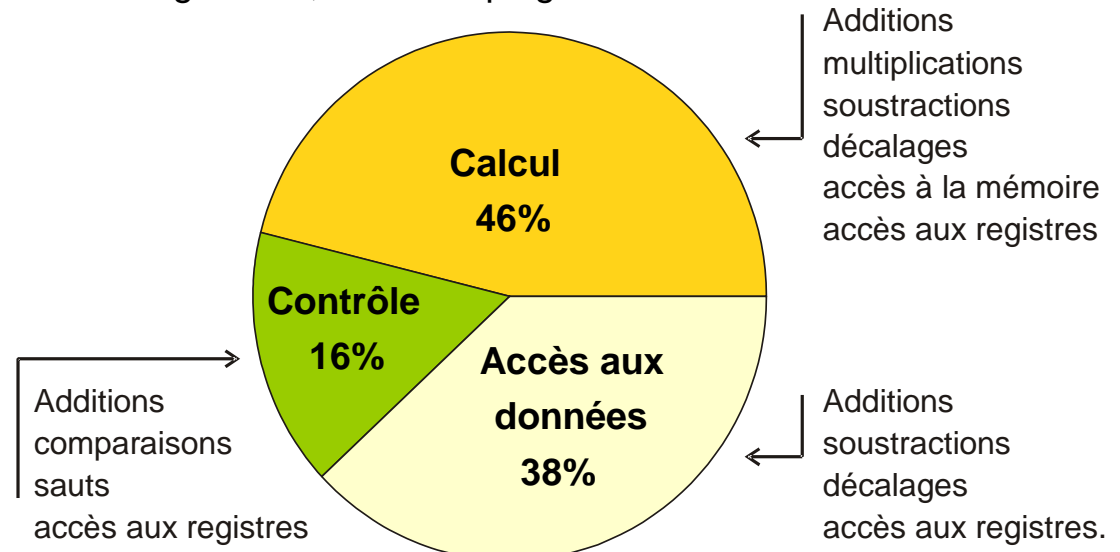
## Fonctions d'accès aux données

- ✓ Accès au « voisinage » du pixel à traiter
- ✓ Images brutes, couleurs, YUV/RGB, complexes etc.
- ✓ Des données de dynamique de 8 à 16 bits



## Fonctions de contrôle

- ✓ Événementiel : l'arrivée d'un pixel, début d'image etc.
- ✓ Segment de code en fonction de la nature ou de la valeur de la donnée (IF/CASE)
  - traitement d'image brute, démosaïquage...



# Analyse des algorithmes : parallélisme de tâche



## Analyse de différentes chaînes algorithmiques

- Répartition moyenne des opérateurs
  - Additions/soustractions (30%)
  - Chargements en registre (30%)
  - Multiplications (18%)
  - Autres (2%)
- Dynamique des opérateurs
  - Obtenue par étude expérimentale sur jeu de données réel
  - Variable selon le type de capteur, algorithmes etc.
    - » Etude exhaustive impossible



## Cas d'une chaîne algorithmique complexe :

- Besoin total en ressources de calcul : 70,89 GOPs
- Partie dédiée au calcul : 23,34 GOPs





# Plan de cette présentation

---



- Introduction et contexte

- ✓ Les traitements en sortie d'imageur
- ✓ Un état de l'art des architectures
- ✓ L'analyse des algorithmes de traitement d'image

1. Les choix architecturaux

2. La validation et les résultats d'implémentation

- Conclusion et perspectives



# L'architecture eISP



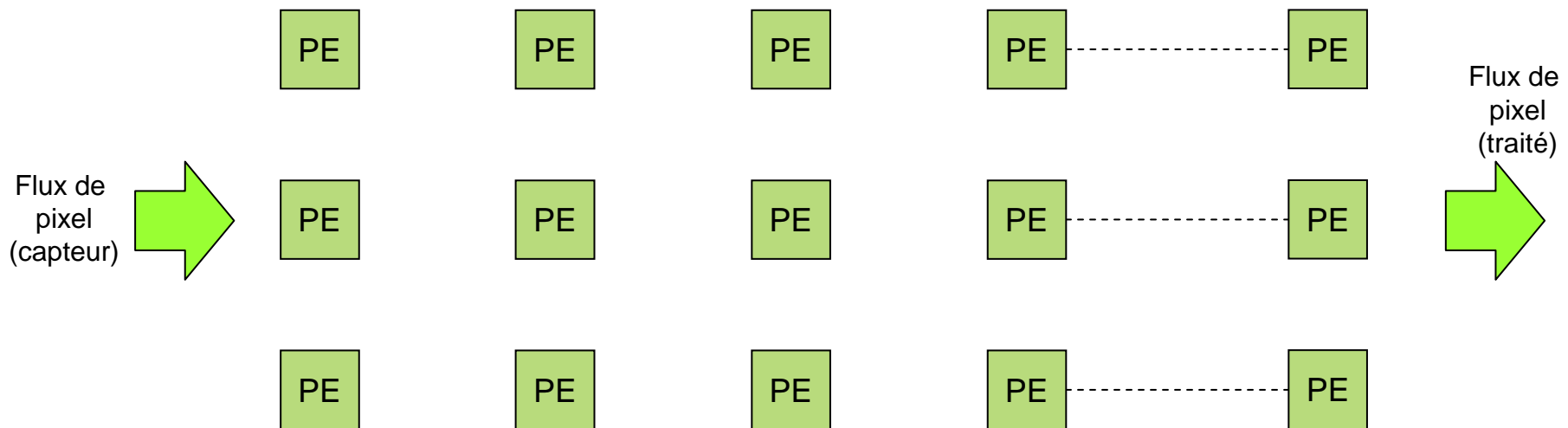
- **Analyse des algorithmes :**
  - ✓ **Parallélisme temporel**
    - Enchaînement des traitements
  
  - ✓ **Parallélisme spatial**
    - SIMD
    - Multi-SIMD
  
  - ✓ **Parallélisme d'instruction**
    - VLIW
  
  - ✓ **Parallélisme des tâches**
    - Accès aux données
    - Contrôle
    - Calcul des résultats



# L'architecture eISP : comment organiser les PEs



- Capacité de calcul requise : 20 à 30 GOPs
- Utilisation de plusieurs « petits » processeurs  
Ex : sur 1,5mm<sup>2</sup> ~50 UAL + registres (PE élémentaires)
- Comment organiser les processeurs ?

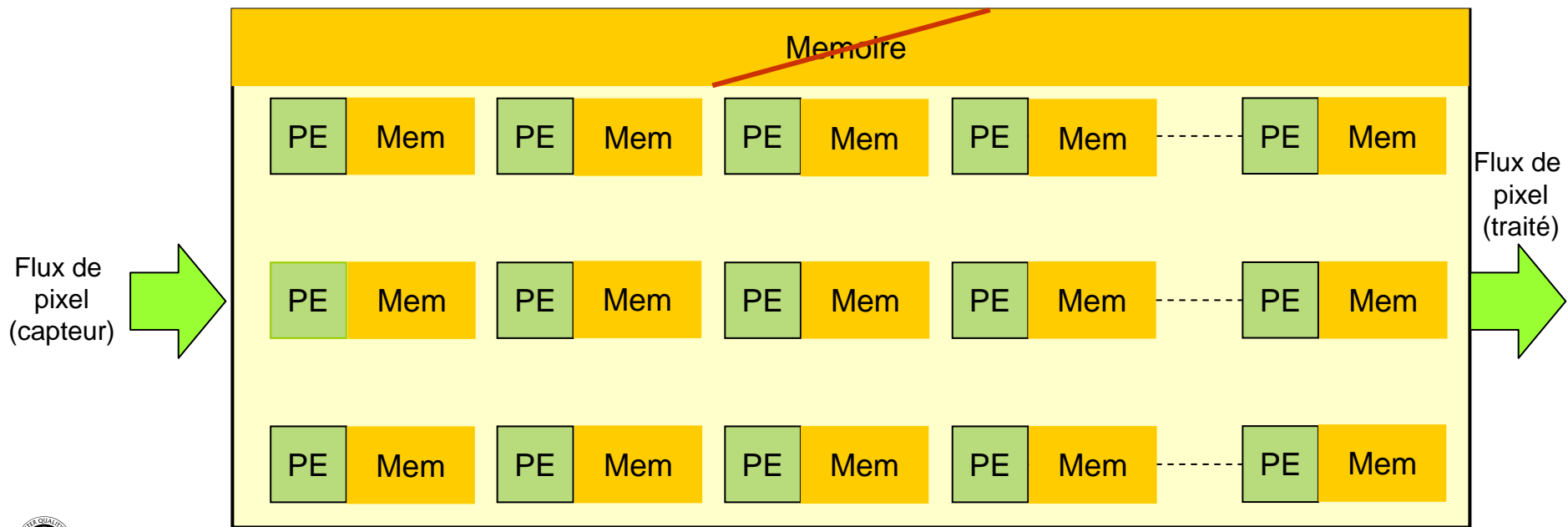


# L'architecture eISP : la tuile de calcul



## ➤ Un seul regroupement de processeurs en une tuile de calcul

- Dépendances de données entre traitements
  - ➔ Aller et retour en mémoire
- Mémoire centrale
  - ➔ Mémoire d'image nécessaire : dépassement du budget
  - ➔ Accès multiples
- Mémoire distribuée
  - ➔ Communications entre processeurs



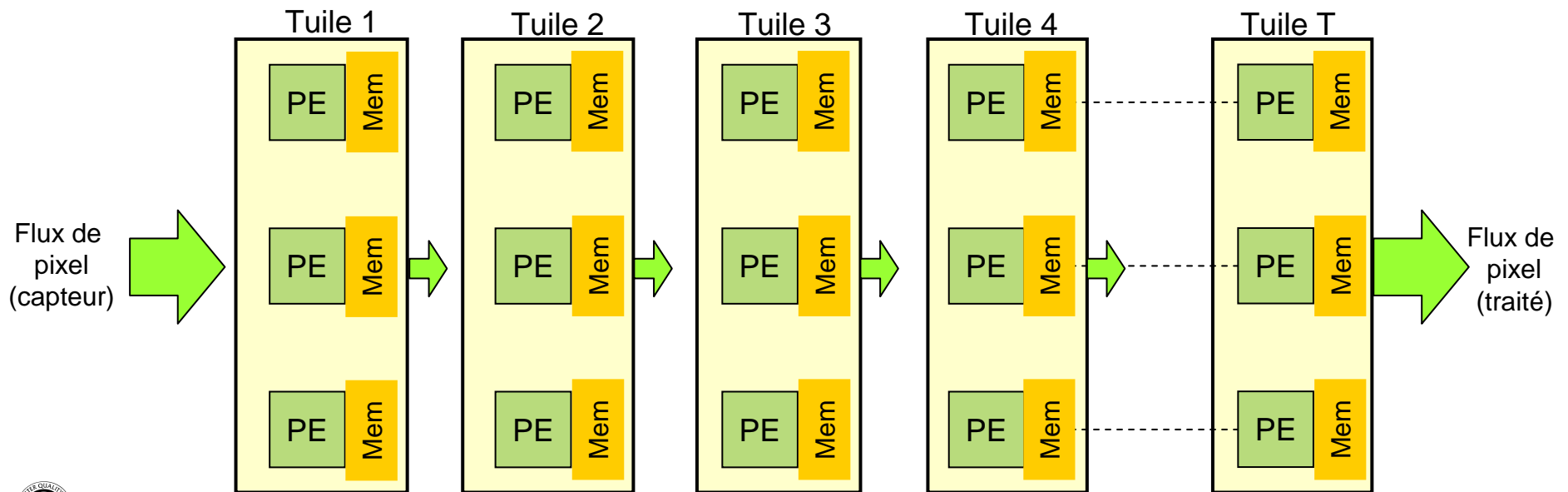
# L'architecture eISP : la tuile de calcul



## ➤ Plusieurs tuiles de calcul homogènes ?

Au moins 4 tuiles de calcul sont nécessaires

- Surface mémoire importante
- Portage des algorithmes complexes ?
  - ➔ Rendre configurable le nombre de processeurs par tuile
    - » Coûteux en surface silicium



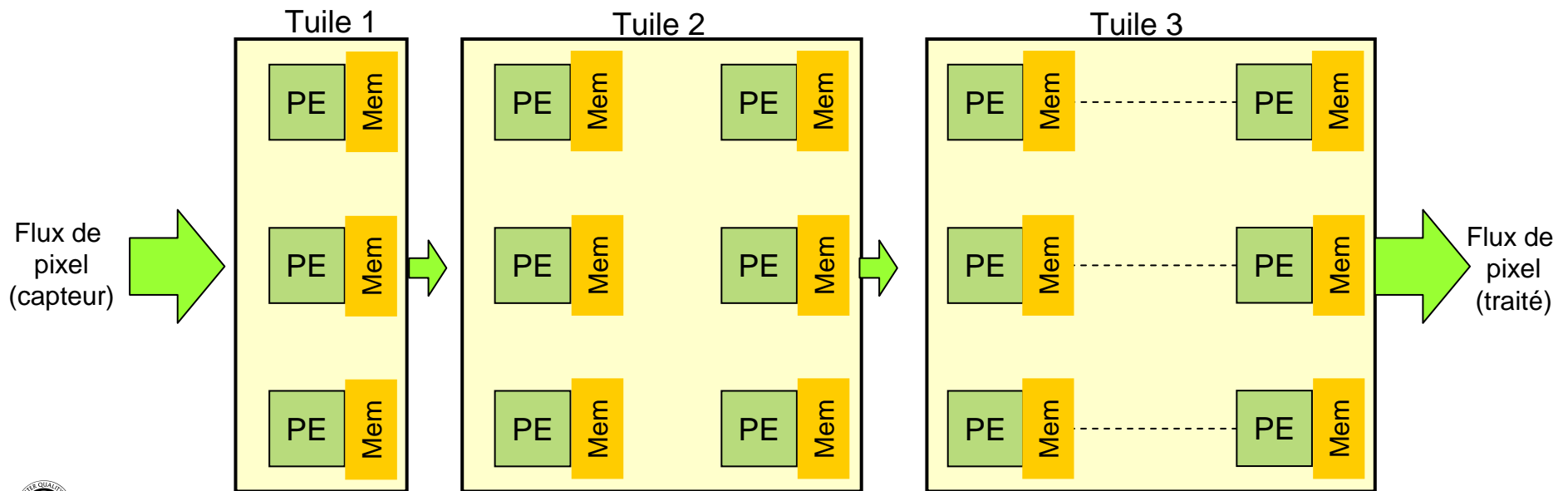
# L'architecture eISP : la tuile de calcul



## ➤ Plusieurs tuiles de calcul hétérogènes ?

Supporter des algorithmes de différentes complexités

- Surface mémoire importante
- Compromis entre
  - ➔ Duplication des données
  - ➔ Communication entre processeurs



# L'architecture eISP : la tuile de calcul



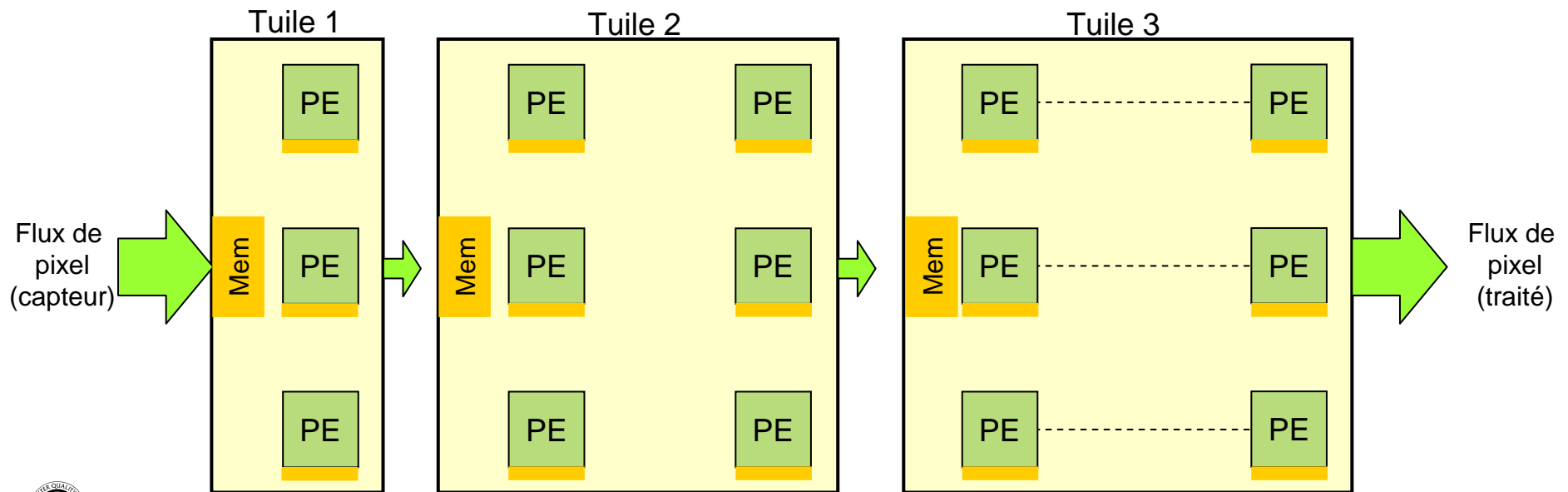
## ➤ Plusieurs tuiles de calcul hétérogènes ?

Avec hiérarchie mémoire

- ➔ Eviter la duplication d'information
  - » Mutualiser les données communes
- ➔ Limiter les communications
  - » Stocker les données au plus près du processeur

## ✓ Temps disponible pour le calcul (pour une tuile)

- $Nb_{Cycles} = F_{Proc} / F_{Pixel} \times Nb_{Proc}$

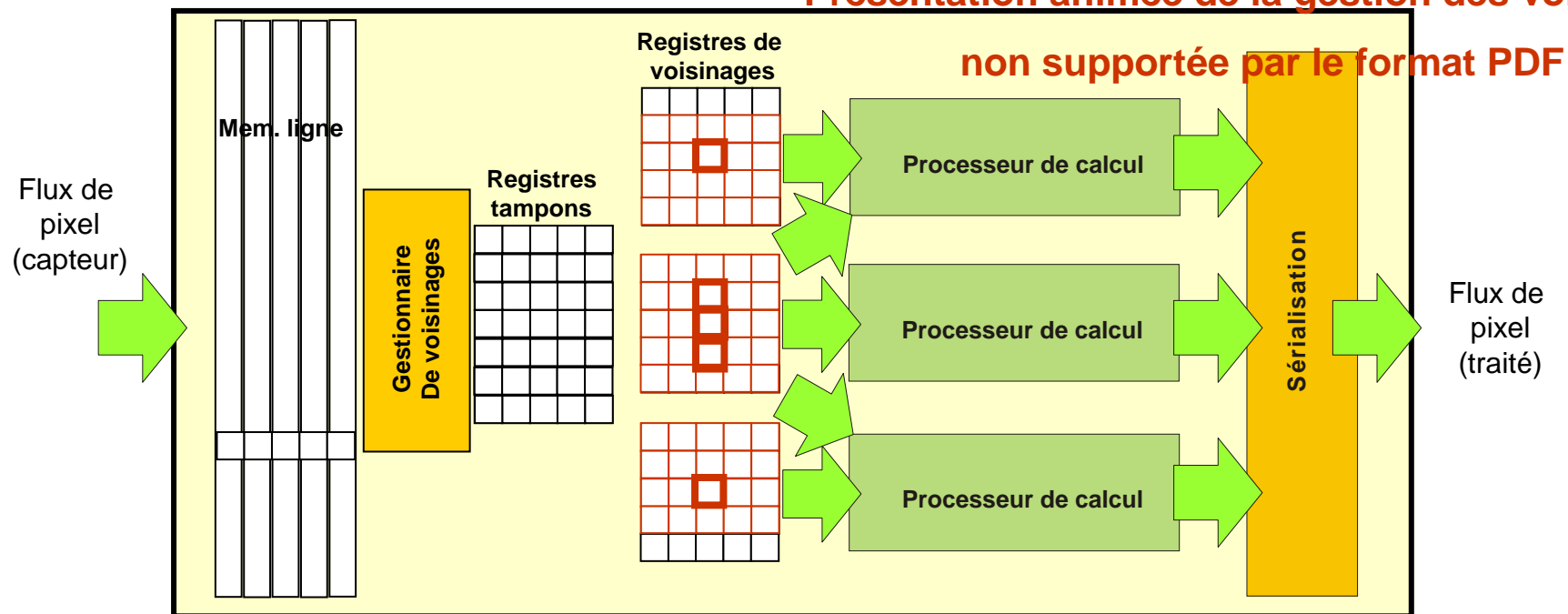


# L'architecture eISP : le gestionnaire de voisinages



- **Redondance d'information**
  - ✓ Mutualisation des ressources
- **Transfert des données depuis la mémoire vers les registres de voisinage**
  - ✓ Utilisation de mémoires simple port (surface)
  - ✓ Copie d'une « colonne » à l'arrivée de chaque nouveau pixel
    - Un accès par pixel et par ligne (consommation)
  - ✓ Registres de voisinages constamment disponibles pendant
    - $Nb_{Cycles} = F_{Proc} / F_{Pixel} \times Nb_{Proc}$

## Présentation animée de la gestion des voisinages



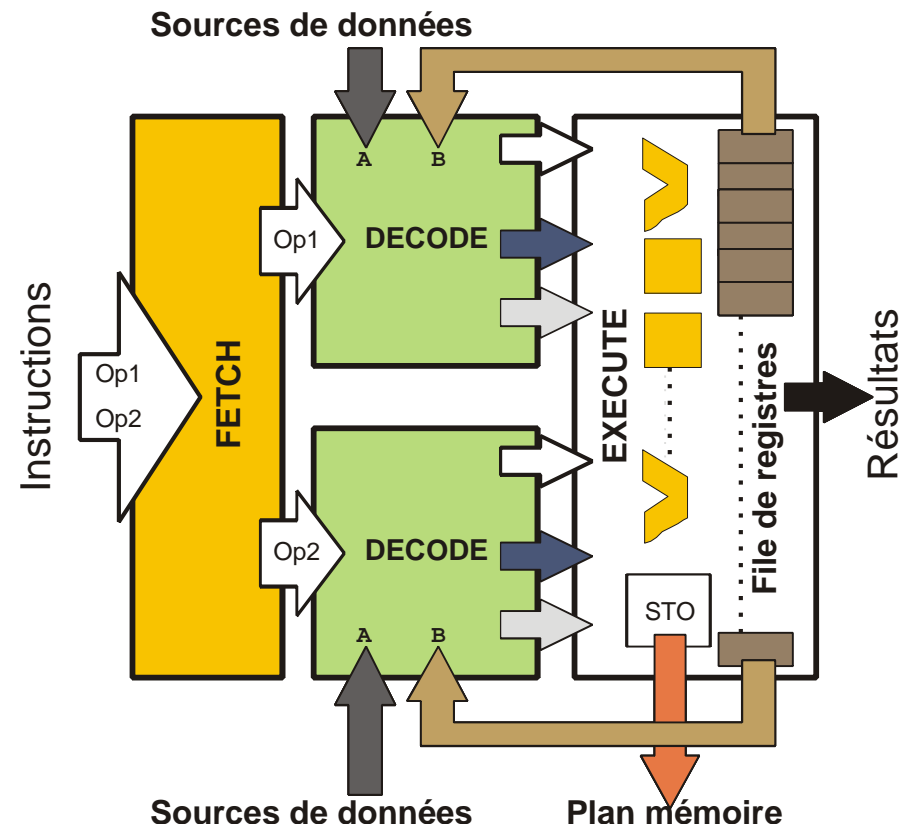


# L'architecture eISP : le processeur « SplitWay »



## ➤ Le processeur SplitWay

- ✓ **Limiter la surface**
  - Mutualisation d'opérateurs
  - RF réduite
  - Nombre d'étages
  - Mémoire de travail SP
  
- ✓ **Limiter la consommation**
  - IS orthogonal
  - Nombre d'étages
  - Modes veille
  - Clock gating
  
- ✓ **Flexibilité et performance**
  - Taille mémoire de travail
  - IS orthogonal
  - Mutualisation d'opérateurs
    - ➔ IF/ELSE 1 cycle
  - 2 opérations par cycles



# L'architecture eISP : le modèle d'exécution

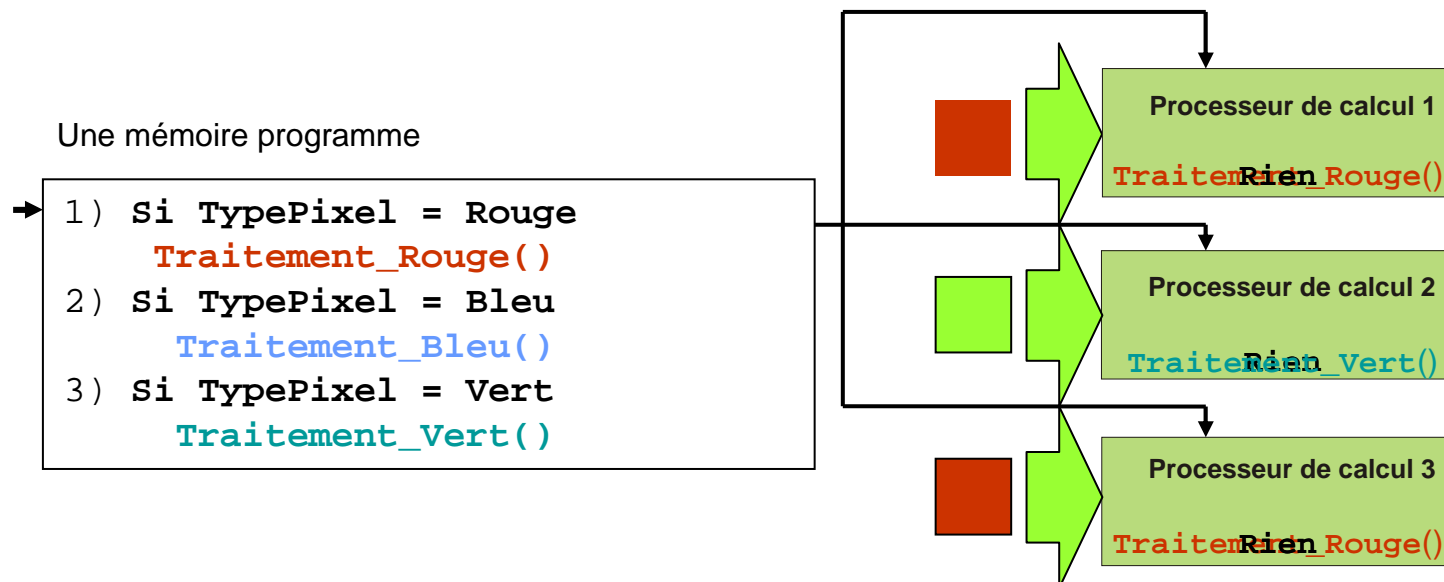


## ➤ Le cas SIMD classique

✓ Tous les processeurs exécutent les mêmes instructions

➔ Problème

- » Traitement des prédicats de type « case »
- » Traitement d'images brutes (alternance de couleurs)

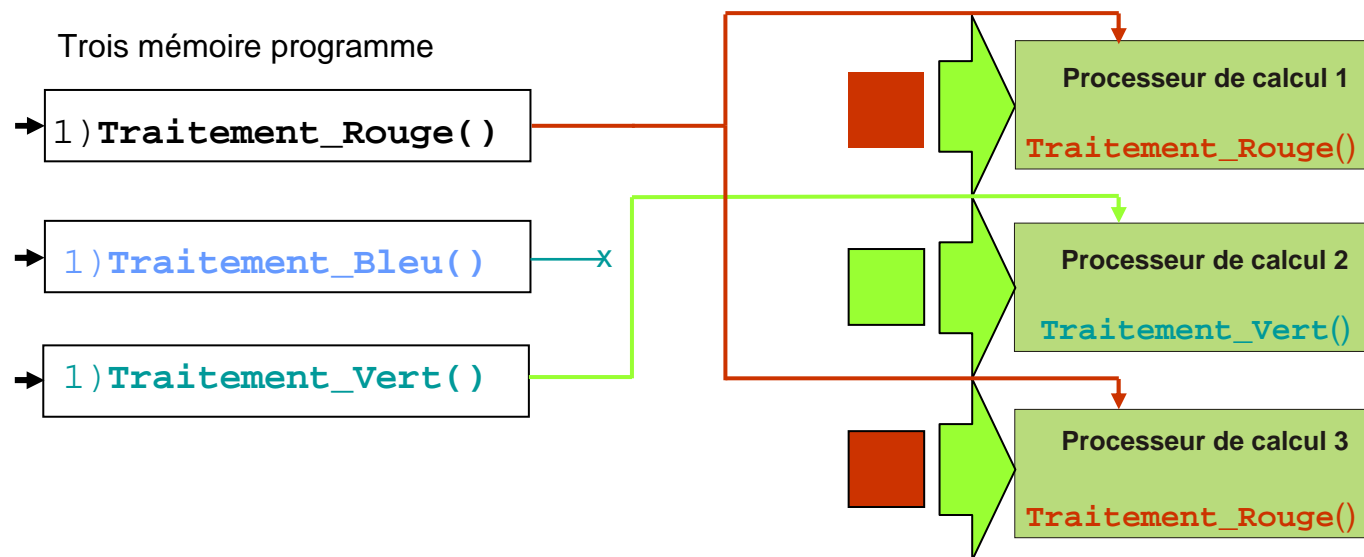


# L'architecture eISP : le mode Multi-SIMD



## ➤ Le cas Multi-SIMD

- ✓ Les processeurs exécutent des instructions différentes
  - ➔ Support optimal des prédicats de type « case »
  - ➔ Support optimal d'images brutes (alternance de couleurs)



Information de commande associée au pixel nécessaire



# L'architecture eISP : les métadonnées



## ➤ Les métadonnées

- ✓ **Mots de données composites**
  - Rouge vert et bleu
  - Nombre complexes
  - Pixel + résultat précédent

Données (valeur du pixel)	Métadonnées	Commande MSIMD
---------------------------	-------------	----------------

- ✓ **Câbler la lecture des mots de données**
  - ➔ Masques configurables par le programmeur
  - ➔ Accès aux données câblé
  - ➔ Programmation de type « registres sécables »

# L'architecture eISP : le module de communication

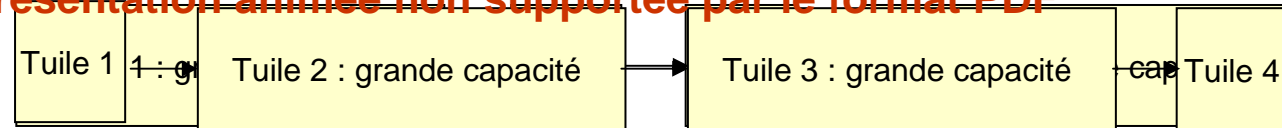


## ➤ Communication entre tuiles de calcul

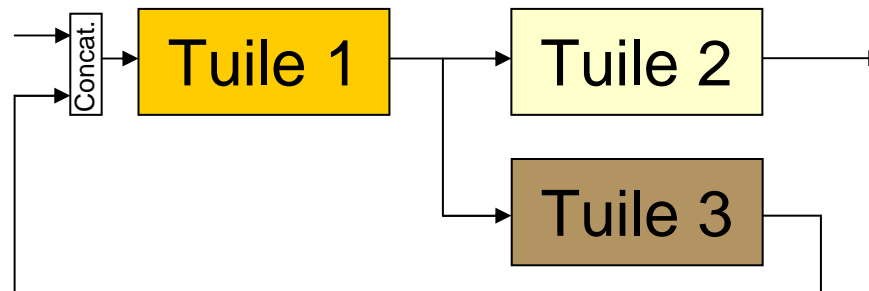
### ✓ Tuiles hétérogènes

- » Ressources de calcul
- » Fréquences de fonctionnement

Présentation animée non supportée par le format PDF



➔ Nécessité de rendre l'enchaînement paramétrable



### ✓ Utilisation d'un bus TDMA

- L'horloge pixel est l'élément commun à toutes les tuiles
  - ➔ Diviser cette horloge en slots temporels
    - » Une écriture par slot et par pixel
    - » Une lecture par slot et par pixel
  - ➔ Maintient l'ensemble des tuiles synchronisées



# L'architecture eISP : vue générale

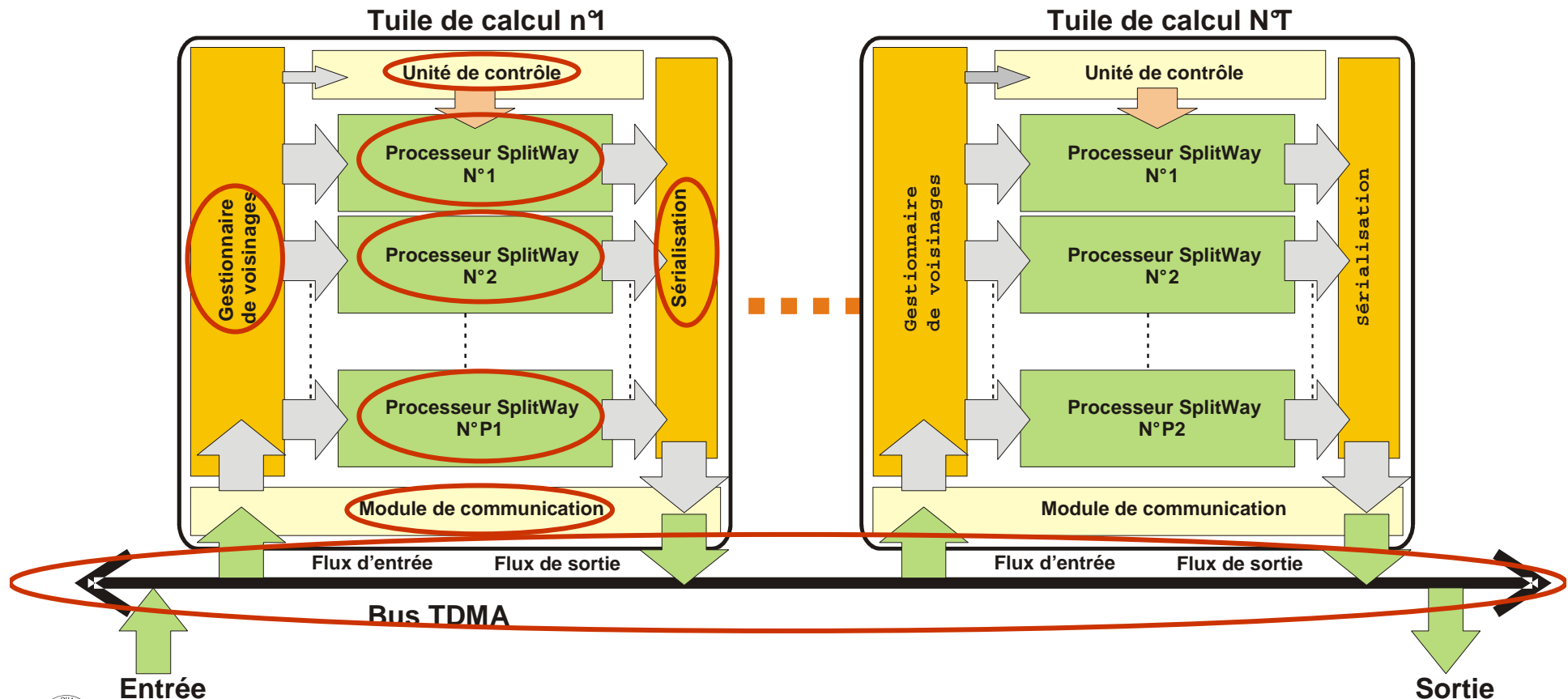


Présentation animée

➤ L'architecture eISP vue dans son ensemble

- ✓ Les processeurs SplitWay
- ✓ L'unité de contrôle + les mémoires programme
- ✓ Le gestionnaire de voisinages + la sérialisation des résultats
- ✓ L'unité de communication
- ✓ Le bus TDMA

non supportée par le format PDF



# Plan de cette présentation

---



- Introduction et contexte

- ✓ Les traitements en sortie d'imageur
- ✓ Un état de l'art des architectures
- ✓ L'analyse des algorithmes de traitement d'image

1. Les choix architecturaux

2. **La validation et les résultats d'implémentation**

- Conclusions et perspectives



# Implémentation et résultats



## ➤ Les algorithmes

- ✓ De nombreuses combinaisons algorithmiques possibles
  - Nécessiter de spécifier des architectures différentes selon les besoins

## ➤ L'architecture

- ✓ De nombreuses combinaisons possibles
  - Processeurs 8 bits 12 bits 16 bits 24 bits etc ?
  - Choix des opérateurs ?
  - Organisation des ressources mémoires
  - Intégration d'IPs dédiées

### ✓ Création d'un générateur automatique de tuiles de calcul

- ➔ Choix des opérateurs
- ➔ Taille du chemin de données
- ➔ Nombre de processeurs
- ➔ Taille des mots de données
- ➔ Mode de fonctionnement (SIMD Multi-SIMD)
- ➔ Taille des mémoires de travail
- ➔ Taille maximale des voisinages supportés
- Génère un VHDL Synthétisable
- Génère un assembleur

### ✓ Compatibilité des assembleurs et des binaires entre les instances





# Résultats : surface & consommation



## ➤ Validation

- ✓ Modèle SystemC
- ✓ Modèle VHDL

## ➤ Estimation de la surface silicium

- ✓ Technologie TSMC 65nm Low Power High Voltage Threshold
  - Librairie Worst Case 0.9V 125°C
- ✓ Synthèse d'une tuile de calcul
  - *Synopsys Design Compiler*
  - *Cadence GateBuilder*
- ✓ Simulation & validation Post-synthèse
  - ModelSim + données réelles
  - Algorithmes testés individuellement

## ➤ Estimation de la consommation

- ✓ Post-Synthèse par analyse dynamique
  - *Synopsys PrimePower*
    - ➔ Sur jeu de données réelles
    - ➔ Processeur à 133 et 250 MHz chargé à 80% (convolution)
- ✓ Post Placement-routage par analyse statique
  - *Cadence SoCEncouter*, avec un taux d'activité de 0,25
    - ➔ Taux obtenu par l'analyse dynamique



# Résultats : surface & consommation

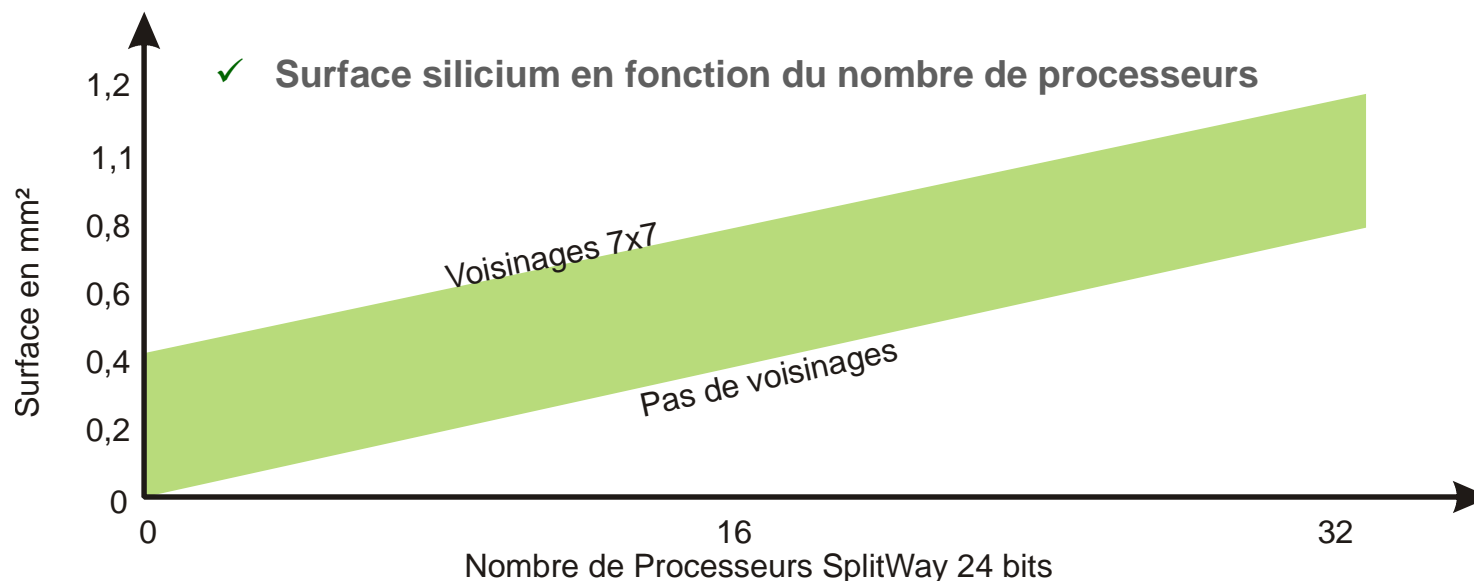
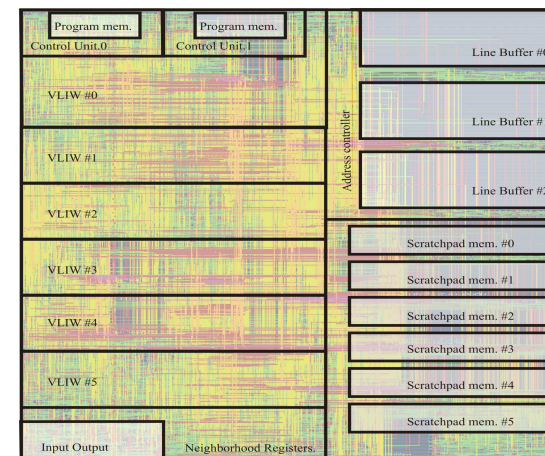


## ➤ Caractérisation de l'architecture

- En surface
- En consommation



Composant	Consommation à 133 MHz		Consommation à 200 MHz	
	dynamique	statique	dynamique	statique
6× processeurs <i>SplitWay</i>	6×0.84 mW	6×39 μW	6× 1.81 mW	6× 45 μW
Mémoire de travail 256×24 bits	6×0.24 mW	6×9 μW	6× 0.36 mW	6× 9 μW
3× mémoires lignes 2048× 8 bits	3×0.32 mW	48μW	3×0.32 mW	48 μW
Gestionnaire de voisinages	0.98 mW	77 μW	2.21 mW	80 μW
2× unités de contrôle <sup>1</sup>	2×1.17 mW	2×20 μW	2× 2.16 mW	2× 21 μW
Module de communication	0.38 mW	9 μW	0.46 mW	11 μW
Total	11.04 mW	0.46 mW	20.87 mW	0.53 mW
Total (dynamique + statique)	11.50 mW		21.4 mW	



# Résultats : surface & consommation

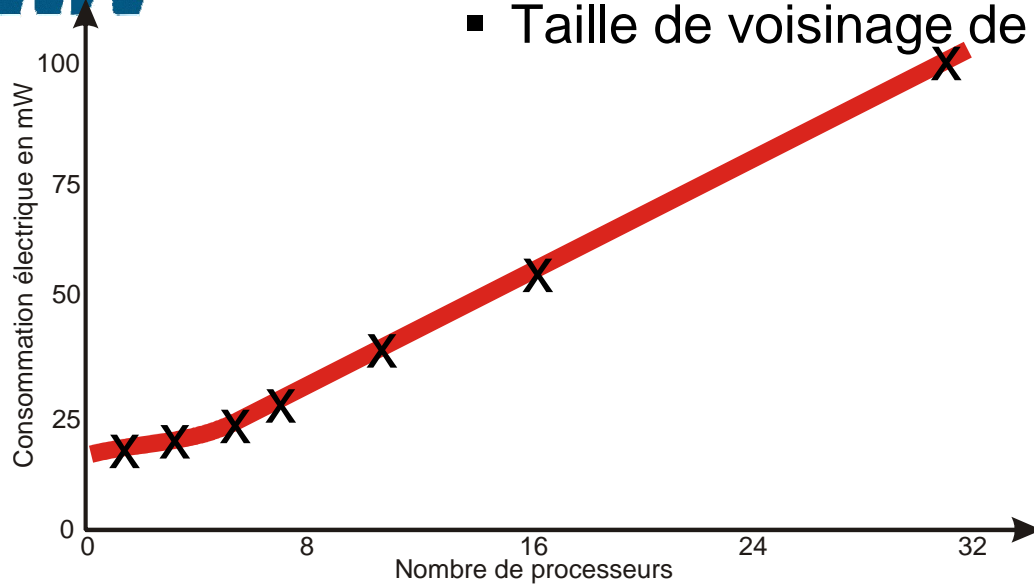


## ➤ Caractérisation de l'architecture (suite)

✓ Consommation électrique en fonction du nombre processeurs

- De 2 à 32 PE SplitWay 24 bits
- Taille de voisinage de 3x3 à 25x25

list



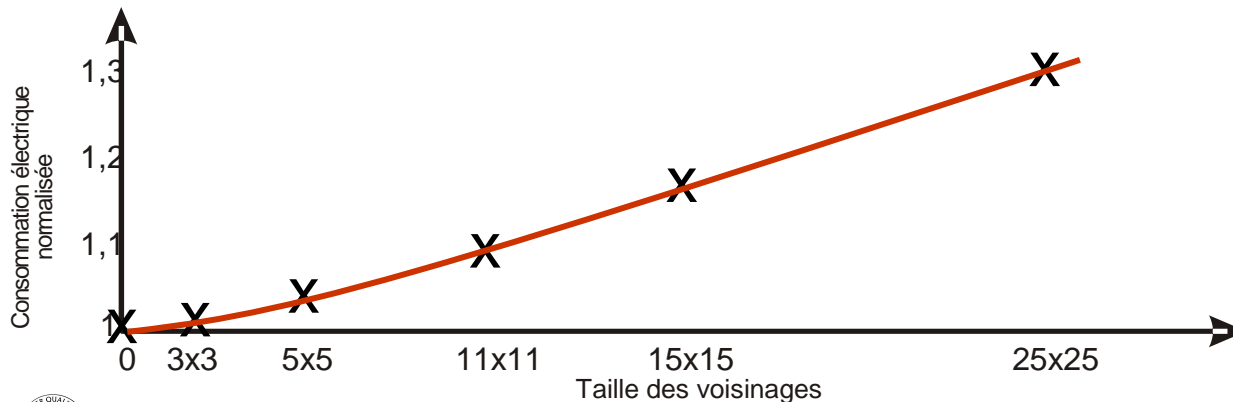
## ➤ Caractérisation du processeur SplitWay

✓ Surface silicium

- 6 à 10 kGates par processeur
- 0,02 mm<sup>2</sup> en 65nm
- 0,01 mm<sup>2</sup> 45nm

✓ Consommation électrique

- 1,81 mW @ 250MHz
- 0,84 mW @ 133MHz



# Implémentation et résultats



## ➤ Surface et consommation d'une instance complète

- ✓ 7 tuiles de calcul
- ✓ 80 processeurs SplitWay 24 bits
  - 40 GOPs
  - 130 à 295 mW selon la fréquence
- ✓ Portage d'une chaîne algorithmique
  - 70 GOPs total
  - 23 GOPs pour le calcul

## ➤ Comparaison à l'état de l'art

- ✓ CRISP
- ✓ Hive Flex

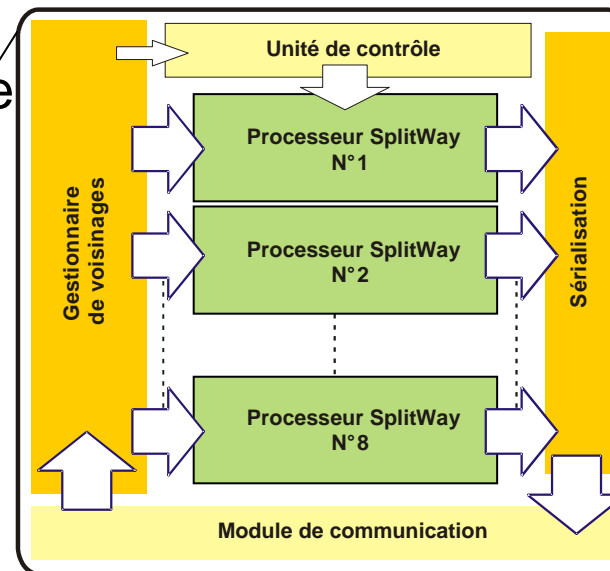


Image brute	Réduction du bruit : 28 PE		Correction de la dynamique – 16 PE			
	Surface mm <sup>2</sup>	Conso. mW	Capacité GOPs	Capacité GOPs/mm <sup>2</sup>	Capacité MOPs/mW	Capacité MOPs/mW/mm <sup>2</sup>
<b>eISP</b>	<b>2,17</b>	<b>295</b>	<b>40</b>	<b>18,43</b>	<b>135,59</b>	<b>62,49</b>
Hive Flex 2300	5,00	600	136	27,20	226,67	45,33
CRISP	1,50	218	13	8,67	59,63	39,76

RGB

Taux utilisation : 95%

Taux utilisation : 62%

Taux utilisation : 76%

Amélioration

Reconstruction des couleurs : 24 PE



# Plan de cette présentation



- Introduction et contexte

✓ Les traitements en sortie d'imageur

✓ L'état de l'art

✓ L'analyse des algorithmes

1. Les propositions architecturales

2. La validation et les résultats de l'architecture

- Conclusion et perspectives



# Conclusions et perspectives



## ➤ Dans un contexte embarqué dur, une réelle alternative aux solutions dédiées

### ✓ L'architecture eISP (et processeur SplitWay)

- Modèle originaux
- Méthodologie de conception réutilisable
  
- Répond aux contraintes initialement fixées
  - ➔ Programmable
  - ➔ Faible surface silicium (quelques mm<sup>2</sup> en 65nm)
  - ➔ Faible consommation < ½ mW
  
- Scalables par
  - ➔ Augmentation du nombre de tuiles
  - ➔ Augmentation du nombre de processeurs
  - ➔ Augmentation de la fréquence de fonctionnement
  - ➔ Emplacements prévus pour extensions (IPs dédiées etc)
  
- Sont spécialisables
  - ➔ Par intégration d'IP dédiées
  - ➔ Emplacements prévus



# Conclusions et perspectives



## ➤ Perspectives à court terme

### ✓ Architectures « PEPS » au CEA LIST

- Reprendre et industrialiser les principes d'eISP :
  - ➔ plusieurs petit VLIW (2 ou 3 voies)
  - ➔ Mémoire distribué
  - ➔ Modèle d'exécution
    - » mode flux
    - » Mémoire distribuée
  - ➔ Projets basés sur ces architectures (dont un projet bilatéral)
  - ➔ Chaîne de compilation en développement

### ✓ Portage FPGA

- 24 à 50 processeurs SplitWay sur Virtex 5 FX70T (5 à 13 GOPs)
- 4 à 10 tuiles de calcul à 133MHz
- Pas de mémoire externe au composant
  - ➔ Vers une démonstrateur (PEPS plateforme Eve, eISP ML507)

### ✓ Tester sur d'autres domaines applicatifs

- Utilisation de l'architecture pour réaliser des traitements dans le domaine fréquentiel
  - ➔ Adaptable pour le support de nombres complexes
  - ➔ Traitement en flux derrière la TF et avant TF<sup>-1</sup>
- Autres applications de traitement du signal (audio, télécoms)



# Conclusions et perspectives



## ➤ Perspectives à long terme

- ✓ **Processeur SplitWay : un  $\mu$ DSP à part entière**
  - ➔ Faible consommation
  - ➔ Faible surface
  - ➔ Performances  $\frac{1}{2}$ GOPs à 250MHz
  
- ✓ **Evolutions architecturales**
  - Utilisation eISP pour des applications moins contraintes
  - Traitement vidéo haut niveau avec mémoire d'image
    - ➔ Applications moins contraintes en surface et consommation
  - Autres domaines applicatifs moins contraints
    - ➔ Caméras
    - ➔ Appareil photos
  
- ✓ **Un modèle générique d'architecture réutilisable**
  - ➔ Pour des applications flux de données
    - » Adaptations pour des « grands » voisinages (200x200 pixels)
  
- ✓ **Outils d'Adéquation Algorithme Architecture**
  - ➔ Exemple: partitionnement automatique des tuiles de calcul d'eISP





# Contributions Scientifiques



## ➤ **Brevets & Journaux:**

- ✓ **Dispositif de traitement en parallèle d'un flux de données**

Brevet BD 10767 – 65563 Déposé en octobre 2008

Mathieu Thevenin et Laurent Letellier

- ✓ **Processeur vidéo HD pour la téléphonie mobile Architecture de calcul très basse consommation pour le traitement vidéo haute définition.**

Technique et Science Informatiques , N°29 ,numéro spécial ( Février 2010) Editions LAVOISIER

Mathieu Thevenin, Michel Paindavoine, Laurent Letellier et Barthelemy Heyrman

## ➤ **Colloques & Conférences :**

- ✓ ***eISP: a Programmable Processing Architecture for Smart Phone Image Enhancement***

DASIP 2009, 22-24 Septembre 2009, Nice Sophia Antipolis

Mathieu Thevenin, Michel Paindavoine, Laurent Letellier, Renaud Schmit, Barthelemy Heyrman

- ✓ ***eISP : une architecture de calcul programmable pour l'amélioration d'images sur téléphone portable.***

GRETSI 2009, 8-11 Septembre 2009, Dijon

Mathieu Thevenin, Laurent Letellier, Barthelemy Heyrman et Michel Paindavoine

- ✓ ***eISP : processeur vidéo pour la téléphonie mobile***

GDR SoC-SIP 2009 10-12 Juin 2009, Paris-Orsay

Mathieu Thevenin, Laurent Letellier et Michel Paindavoine

- ✓ ***Embedded Processor Extensions for Image***

Photonics Europe 2008, 7-10 Avril 2008 Strasbourg

Mathieu Thevenin, Laurent Letellier, Barthelemy Heyrman et Michel Paindavoine

- ✓ ***Extensions matérielles pour processeurs embarqués de traitement d'images***

Symposium sur les Architectures Nouvelles de Machines (SympA - 2008), 11-13 Février 2008, Fribourg

Mathieu Thevenin, Laurent Letellier, Barthelemy Heyrman et Michel Paindavoine



---

cea

---

list

**MERCI**



# Références



- [1] Power-Efficient Reconfiguration Control in Coarse-Grained Dynamically Reconfigurable Architectures  
*Integrated Circuit and System Design. Power and Timing Modeling, Optimization and Simulation: 18th International Workshop, PATMOS 2008, Lisbon, Portugal*  
Dmitrij Kissler, Andreas Strawetz, Frank Hannig Jürgen Teich
- [2] HiveFlex VSP2500 Series Video Signal Processor  
*Databrief*  
<http://www.siliconhive.com>
- [3] XeTaL-II: a low-power multiprocessing SIMD architecture  
*MEDEA+ Design Automation Conference 2006*  
Marc Heijligers
- [4] Xetal family description  
*NXP Eindhoven, NL - Copyright Chess 2006-2009*  
R. Kleihorst
- [5] Reconfigurable Instruction Cell Array  
*IEEE Transactions on Very Large Scale Integration (VLSI) Systems*  
Volume 16 , Issue 1 (January 2008)  
Khawam et al.
- [6] CRISP: Coarse-Grained Reconfigurable Image Stream Processor for Digital Still Cameras and Camcorders  
*IEEE Transactions On Circuits And Systems for Video Technology, Vol. 18, No. 9, September 2008*  
1223  
Jason C. Chen and Shao-Yi Chien,

